

P. С. Буркина, А. Г. Князева

## ИССЛЕДОВАНИЕ ОЧАГОВОГО ТЕПЛОВОГО ВОСПЛАМЕНЕНИЯ И РЕЖИМА ЕГО ВЫРОЖДЕНИЯ

Задаче об очаговом тепловом воспламенении посвящено большое количество работ численного и приближенно-аналитического характера (см., например, [1—13]). В [14, 15] авторы вновь обращаются к исследованию развития очагового теплового воспламенения вещества с нулевым порядком реакции при П-образном начальном распределении температуры. В этой связи представляется полезным провести некоторое сравнение полученных результатов, а также рассмотреть условия вырождения очагового воспламенения, затронутые в [14, 15].

В тепловой теории воспламенения задача об очаговом взрыве сводится к анализу развития начального температурного профиля в реакционноспособной среде. Математическая постановка задачи в традиционных безразмерных переменных для П-образного очага имеет вид [16]

$$\frac{\partial \Theta}{\partial \tau} = \frac{1}{\delta} \Delta \Theta + \varphi(Y) \exp \left[ \frac{\Theta}{1 + \beta \Theta} \right], \quad (1)$$

$$\frac{\partial Y}{\partial \tau} = \frac{Le}{\delta} \Delta Y + \gamma \varphi(Y) \exp \left[ \frac{\Theta}{1 + \beta \Theta} \right], \quad (2)$$

$$\Theta(\xi, 0) = -\Theta_0 \eta(\xi - 1), \quad Y(\xi, 0) = 0, \quad (3)$$

$$\frac{\partial \Theta(0, \tau)}{\partial \xi} = \frac{\partial \Theta(\infty, \tau)}{\partial \xi} = \frac{\partial Y(0, \tau)}{\partial \xi} = \frac{\partial Y(\infty, \tau)}{\partial \xi} = 0. \quad (4)$$

Здесь и в дальнейшем используются следующие обозначения:  $\Theta = E(T - T_0)/(RT_0^2)$ ;  $Y = 1 - z/z_0$ ;  $\xi = x/R_0$ ;  $\tau = t/t_a$  — безразмерные температура, глубина превращения, пространственная координата, время;  $T_0$  — максимальная температура в центре очага в начальный момент времени;  $R$  — универсальная газовая постоянная;  $x$  — пространственная координата;  $t$  — время;  $R_0$  — радиус очага разогрева;  $t_{ad} = z_0^n c RT_0^2 \exp(E/RT_0)/(EQk_0)$  — период адиабатической индукции;  $z_0$ ,  $E$ ,  $Q$ ,  $k_0$  — начальная концентрация реагента, энергия активации, тепловой эффект и предэкспонент экзотермической химической реакции;  $\delta = R_0^2/(xt_a)$  — параметр Франк-Каменецкого;  $\chi$  — температуропроводность вещества;  $c$  — теплоемкость;  $\beta = RT_0/E$  — малый параметр теории горения;  $\Theta_0 = E(T_0 - T_n)/(RT_0^2)$  — температурный напор;  $T_n$  — температура окружающей среды;  $\tau_v$  — время воспламенения;  $\delta_*$  — критическое значение  $\delta$ ;  $\eta(\xi - 1)$  — единичная функция Хевисайда;  $\gamma = -cRT_0^2/(EQ)$ ;  $Y_0$  — параметр автокаталитичности;  $Le$  — число Льюиса;  $\varphi(Y)$  — кинетическая функция скорости химической реакции;  $f(\xi)$  — функция, характеризующая начальное распределение температуры.

Помимо температуры и концентрации для задачи важно критическое значение параметра Франк-Каменецкого  $\delta_*$ , разделяющее режимы воспламенения и потухания очага разогрева.

В рассмотрении данной задачи взяты за основу работы [1, 2], где проведено подробное численное исследование формул (1)–(4) для простой реакции  $\varphi(Y) = (1 - Y)^n$  и показано, что существовавшие ранее приближенные теории [17—20] критического условия очагового взрыва

неудовлетворительны и не дают даже правильной качественной зависимости  $\delta_*(\Theta)$ . На основе детального анализа закономерностей температурного режима очага сделан вывод о том [2], что из-за сильных градиентов температуры в очаге весь период индукции ошибка решений [17–20] связана в основном с неверной качественной трактовкой поведения экспоненциального слагаемого в уравнении энергии (1).

На основе выводов [2] в [3] предложено новое приближенно-аналитическое решение очаговой задачи, базирующееся на предположении о подобии кривизны температурных профилей в реакционноспособном и инертном очагах. В соответствии с этим в (1) кондукционный член заменен на аналогичный из решения инертной задачи, что позволило свести уравнение в частных производных к обыкновенному дифференциальному. В результате удалось найти критический размер очага в функции от температурного напора, удовлетворительно согласующийся с расчетами [1, 2].

Схема решения, развитая в [3], использована в [4] для поиска критических условий взрыва в случае двух и более «горячих пятен» в веществе. Показано, что критические условия практически не отличаются от полученных для одного очага, если расстояние между очагами составляет более 30 % их радиуса. Численный анализ периодической системы очагов разогрева [5] подтверждает сделанный в [4] вывод.

В [6] асимптотически проанализирована задача для случая  $\delta \gg 1$  и  $\Theta_0 \gg 1$ . Решение получено методом сращиваемых асимптотических разложений, при этом показано, что за погранслойное распределение температуры в очаге отвечает параметр Франк-Каменецкого  $\delta \gg 1$ . Во внутренней области, где идут химические реакции ( $0 < \xi < 1$ ), уравнение (1) с точностью  $O(\delta^{-1}, \Theta_0^{-1})$  упрощается до адиабатического, во внешней ( $1 \leq \xi < \infty$ ) с точностью до экспоненциально малых слагаемых справедливы инертные уравнения. В результате построено температурное поле в очаге и окружающей среде и получено критическое условие, разделяющее режимы взрывного протекания процесса и постепенного остывания очага.

Развитая в [6] схема асимптотического анализа задачи применена в [7] для различных монотонных начальных температурных распределений внутри очага:  $\Theta(\xi, 0) = -\Theta_0(1 - f(\xi))$ . Обнаружено, что начальное распределение температуры оказывает на критическое условие самое существенное влияние, а качественный вид зависимости  $\delta_*(\Theta_0)$  определяется номером первой, отличной от нуля, производной  $f^{(N)}(0) \neq 0$ . Такая сильная зависимость критических условий от  $\Theta_0$  и  $f(\xi)$  связана с отводом тепла из зоны химических реакций (максимум химического тепловыделения приходится на окрестность  $\xi = 0$ ), количество которого определяется характером распределения температуры. Кроме этого, начальные распределения температуры, для которых  $f'(0) \neq 0$ , не соответствуют граничному условию (4), что приводит к необходимости перестройки температурного профиля в окрестности  $\xi = 0$ .

В дальнейшем численный анализ [9] показал, что для таких температурных профилей найденное значение  $\delta_*$  разделяет режимы монотонного повышения температуры в центре очага и начального понижения температуры при дальнейшем его воспламенении. Аналогичным образом рассмотрен очаг с термическим сопротивлением на границе [8]. Получена логарифмическая зависимость  $\delta_*(Bi)$ ; показано, что условия теплообмена на границе очага оказывают существенное влияние на критические характеристики лишь при малых  $Bi$ . В случае  $Bi \sim \sqrt{\pi}/4e\Theta_0$  критический размер очага  $\delta_*$  становится порядка единицы, что может служить нижней границей применимости развитого асимптотического подхода.

В [9] численно проанализировано развитие очага разогрева для различных начальных температурных профилей. Обнаружено, что для гладких температурных профилей (первая производная от которых в

центре очага равна нулю:  $f'(0) = 0$ ) критическое условие с хорошей точностью описывается асимптотической формулой [7], а динамика поведения очага аналогична случаю П-образного начального распределения температуры. Для негладких температурных профилей ( $f'(0) \neq 0$ ) можно выделить два критических значения параметра Франк-Каменецкого. В случае  $\delta < \delta_*$  очаг «остывает», а при  $\delta_* < \delta < \delta'$  после первоначального понижения температуры в центре очага, связанного с геометрической перестройкой температурного профиля, происходит воспламенение. При  $\delta > \delta'$  очаг воспламеняется, причем температура в центре монотонно возрастает;  $\delta'_*$  хорошо согласуется с асимптотическим значением  $\delta_*$  из [7].

Михельсоновский начальный профиль  $\Theta(\xi, 0) = -\Theta_0(1 - \exp(-\xi))$ , рассмотренный в [10] при описании повторного воспламенения, удовлетворяет условию  $f'(0) \neq 0$ . Следовательно, закономерности в развитии процесса очагового воспламенения в этом случае должны быть аналогичными линейному начальному распределению [9]. «Особенно быстрое» изменения  $\tau_b$  с  $\delta$  соответствует окрестности  $\delta_*$ . Использование в качестве критерия воспламенения условия монотонного роста температуры в центре очага дает  $\delta'_*$ .

Вопросам очагового воспламенения посвящена глава монографии [11], где приведены результаты асимптотического анализа.

В работах [12, 13] очаговое воспламенение рассмотрено при условии протекания в веществе автокатализитической реакции  $\varphi(Y) = (1 - Y) \times (Y_0 + Y)$ . Асимптотический анализ задачи [12] при различных начальных температурных профилях показал, что автокаталитический процесс не меняет качественной зависимости критического значения  $\delta_*$  от температурного напора очага. Влияние параметров  $\gamma$ ,  $Y_0$  на  $\delta_*$  качественно различно в области сильного ( $Y_0/\gamma \ll 1$ ) и слабого ( $Y_0/\gamma \gg 1$ ) автокаталитизма. Результаты согласуются с численным счетом задачи для функций  $f(\xi)$  с нулевой производной в центре очага и со значением  $\delta_*$  для негладких начальных температурных профилей. В [13] проведено подробное параметрическое исследование задачи с автокатализитической реакцией для П-образного начального распределения температуры.

В первой части работы [15] предложен приближенный метод определения критических условий. Эта часть опубликована и в [14]. Метод основан на физическом анализе процесса, который проведен ранее в [1, 2, 6]. Для определения критических условий очагового воспламенения авторы используют критическое значение параметра стационарной теории теплового взрыва [16], которое подставляют в решение задачи для инертного охлаждения очага в момент  $\tau = 1$ , соответствующий моменту адиабатического воспламенения. Следует отметить не совсем последовательное использование критических условий стационарной теории. Так, за критическое значение принято  $(\xi \sqrt{\delta})_* = 1$  вместо  $\sqrt{0,88}$  для плоско-параллельного очага. Для цилиндрической и сферической симметрий в [14] за  $(\xi \sqrt{\delta})_*$  взяты соответственно  $\sqrt{2}$  и  $\sqrt{3}$  вместо  $\sqrt{2}$  и  $\sqrt{3,32}$ . По-видимому, такой выбор обеспечивает лучшее согласие с результатами численного счета. Аналогичным образом выбраны и остальные параметры предложенного метода: граница зоны реакции  $\Theta = -1$ , время развития процесса  $\tau = 1$ . Использование этих значений для несколько измененной постановки задачи (системы очагов, различных начальных температурных профилей и др.), как показано в [4, 5, 7–13], не правомерно. Представление в [14, 15] конечной зависимости  $\delta_*(\Theta_0)$  в неявном интегральном виде также ограничивает простоту использования результата.

На рис. 1 приведено сравнение критических условий  $\delta_*(\Theta_0)$  полученных в [3, 6, 15], и результатов численного счета. Для нахождения  $\delta_*(\Theta_0)$  в широком диапазоне изменения  $\Theta_0 \in [4]$  рассчитана задача (1)–(4) по неявной разностной схеме методом прогонки с точностью  $\sim 4\%$ . Влияние параметра  $\beta$  при  $\Theta_0 > 10$  мало (в расчетах  $\beta = 0,01$ ).

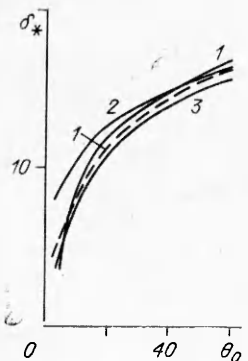


Рис. 1. Критические зависимости  $\delta_*(\Theta_0)$ .

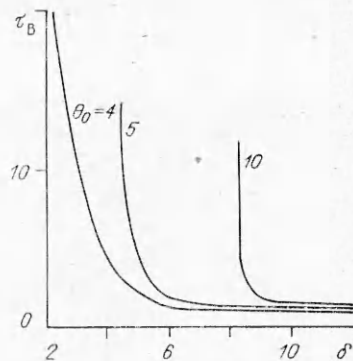


Рис. 3. Время воспламенения при  $\beta = 0,01$ .

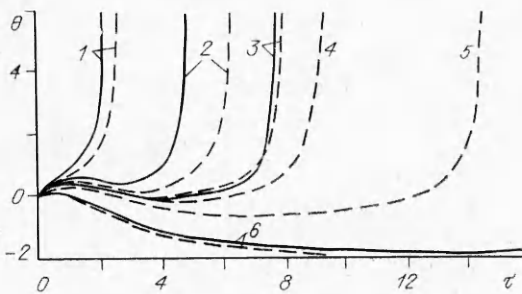


Рис. 2. Зависимость температуры в центре очага от времени при  $\beta = 0,01$  (сплошные линии), 0,1 (штриховые);  $\Theta_0 = 5$ .

б: 1 — 6,0, 2 — 4,95, 3 — 4,85, 4 —

4,8, 5 — 4,7, 6 — 4,0.

В диапазоне  $\Theta_0 \in [4]$  расчет совпадает с данными [1, 2]. Кривая 1 взята из [3]:  $\delta_* = 4 \ln(\Theta_0 \sqrt{\delta_*} / 2 \sqrt{\pi})$ , кривая 2:  $\delta_* = 4 \ln [2e\Theta_0(1 + 6/\delta_*)] / \sqrt{\pi\delta_*}$  — результат асимптотического анализа [6], кривая 3 рассчитывалась из соотношения  $2/\Theta_0 = \operatorname{erfc}[(\sqrt{\delta_*} - i)/2]$ , приведенного в [14, 15]. Штриховая линия на рис. 1 — результат численного счета. Видно, что при небольших  $\Theta_0$  результаты работ [3] и [14] дают приблизительно одинаковое согласие с численным счетом, подходя к нему соответственно сверху и снизу. При увеличении  $\Theta_0$  данные [14] начинают отставать от численного счета, т. е. последний не имеет асимптотического характера.

Вторая часть работы [14] посвящена анализу динамики изменения параметров развития П-образного очага, выполненного на основе численного решения задачи в окрестности критических условий. Отметим, что более подробный численный анализ проведен для П-образного начального температурного профиля в [1, 2], для других начальных температурных распределений — в [9, 10].

Некоторые выводы авторов [14], в частности о линейной зависимости температуры в центре очага от времени для любых значений параметров, сомнительны. Решение существенно зависит от  $\Theta_0$  и  $\delta$ . При малых  $\Theta_0$  вблизи критики температура может иметь два экстремума, природа которых в корне отлична от описанных в [9]. Так, при  $\Theta_0 = 5$ ,  $\beta = 0,01$ ,  $\delta = 4,8$  (рис. 2) температура в центре очага сначала возрастает до 0,5 к моменту  $\tau = 0,75$ ; затем уменьшается до -0,3 вследствие теплопотока в окружающую среду с границ очага.

Длительное время температура в центре практически не изменяется, и только при  $\tau_B = 9,2$  происходит воспламенение. Такая особенность характерна для области вырожденного очагового взрыва [1], когда влияние химических реакций в окружающей очаг среде начинаетказываться уже при конечных временах  $\tau \approx 0$  (1). Следует отметить, что химическое тепловыделение в окружающей среде при малых  $\Theta_0$  приводит к воспламенению очага при любых значениях  $\delta$ , но оно происходит при больших  $\tau$ . Этот эффект отмечен в [5, 10].

При низких значениях  $\Theta_0$  понятие критических условий носит условный характер, что связано с вырождением очагового взрыва. Зависимость

Рис. 4. Распределение температуры в очаге и в окружающей среде во времени при  $\Theta_0 = 4$ ,  $\beta = 0,01$ ,  $n = 0$ .

I — обычное тепловыделение,  $\tau$ : 1 — 4,0, 2 — 3,0, 3 — 0,7, 4 — 0,3; II — тепловыделение типа (5),  $\tau$ : 1 — 7,0, 2 — 3,0, 3 — 0,7, 4 — 0,3.

$\tau_b(\delta)$  переходит от скачкообразной (при высоких  $\Theta_0$  и  $\delta < \delta_*$   $\tau_b \gg 1$ ,  $\tau_b \approx 0(1)$  при  $\delta > \delta_*$ ) в непрерывную (рис. 3) с уменьшением  $\Theta_0$ . Явно выраженного потухания здесь нет, поэтому требуются дополнительные определения.

Примем за критическое условие  $\delta_*(\Theta_0)$  такое  $\delta$ , при котором минимум зависимости  $\Theta(0, \tau)$  не меньше первоначальной температуры очага (см.

рис. 2). Выбранное таким образом значение  $\delta_*$  совпадает с численным счетом [1]. Например, для случая  $\Theta_0 = 5$   $\delta_* \approx 4,90$  (если отнести к воспламенению и кривые с  $\Theta = -1$ , то получим  $\delta_* \approx 4,6$ , что отличается от результата [14, 15]). В случае  $\Theta_0 > 8$  критическое значение  $\delta_*(\Theta_0)$  существует в обычном смысле: при  $\delta \geq \delta_*$  очаг разогрева воспламеняется, при  $\delta < \delta_*$  остывает после некоторого повышения температуры (воспламенение произойдет при очень больших  $\tau$ ).

В области вырождения очагового воспламенения усиливается влияние параметра  $\beta = RT_0/E$  на характеристики процесса (см. рис. 2). Например, для  $\Theta_0 = 5$  и  $\delta = 4,7$   $\tau_b \approx 14,5$  и 7,8 при  $\beta = 0,1$  и 0,01 соответственно.

При низких  $\Theta_0$  вдали от условной критики ( $\delta > \delta_*$ ) до момента воспламенения очаг сужается, т. е. область с температурой, близкой к начальному максимуму, ограничена  $\xi_1 < 1$ , как и при «нормальном» воспламенении [2, 9]. В окрестности  $\delta_*$  очаг после некоторого сужения вновь расширяется еще до момента  $\tau_b$ , что связано с подключением реакции в окружающей очаг среде по мере ее прогрева. Такая картина развития процесса связана с вырождением понятия критических условий при малых  $\Theta_0$ . Для начального михельсоновского температурного профиля особенности воспламенения очага разогрева описаны в [10] при исследовании процесса с определяющим «нижним уровнем температуры», что соответствует вырождению очага.

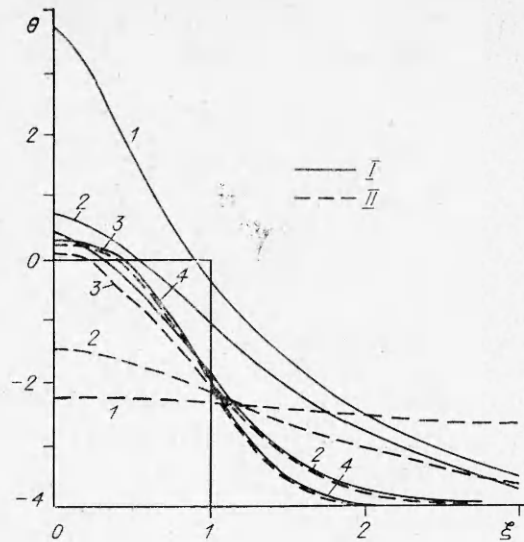
Расчет (1) — (4) показал, что увеличение параметра  $\gamma$  в области вырождения существенно сказывается на значениях выгорания в очаге и в окружающей среде и на значениях температуры и времени воспламенения. Например, для случая  $\Theta_0 = \delta = 4$ ,  $\beta = 0,01$  и реакции первого порядка имеем:

$\gamma$	$\tau_b$	$Y(0, \tau_b)$	$Y(1, \tau_b)$	$Y(1,5 \tau_b)$	$\Theta(1, \tau_b)$	$\Theta(1,5 \tau_b)$
0,03	5,0	0,223	0,050	0,016	0,41	-1,27
0,06	6,7	0,799	0,177	0,0164	1,10	-0,59
0,1	11,2	0,993	0,993	0,867	5,30	6,78

Вызывает удивление описание в [15] промежуточной волны горения при  $\Theta_0 = 4$  для функции тепловыделения

$$W = \begin{cases} \exp(\Theta/(1 + \beta\Theta)), & \Theta \geq 0, \\ 0, & \Theta < 0. \end{cases} \quad (5)$$

На рис. 4 приведены температурные профили, полученные в результате численного счета (при  $\Theta_0 = 4$ ,  $\delta = 4$ ,  $\beta = 0,01$ ,  $n = 0$ ), системы



(1)–(4) (сплошные кривые), а также распределения температуры при подстановке в (1) теплового источника вида (5). Прежде всего отметим, что для обоих видов теплового источника описанная в [15] промежуточная волна отсутствует. К сожалению, в [15] не дан физический смысл указанной волны. В проведенных ранее численных исследованиях [1, 2, 5, 9, 10, 13] подобные волны также не обнаружены. Кроме того, как видно из рис. 4, качественное развитие процесса различно: для первого вида теплового источника произойдет воспламенение, для второго — остывание очага. Это обстоятельство объясняется отмеченным выше выводом работы [2] о возникновении ошибок при неправильном описании функции тепловыделения, что всегда должно учитываться при разработке новых теорий.

#### ЛИТЕРАТУРА

1. Мержанов А. Г., Барзыкин В. В., Гонтковская В. Т. // Докл. АН СССР.— 1963.— 148, № 2.— С. 380.
2. Merganov A. G. // Combust. Flame.— 1966.— 10, N 4.— P. 341.
3. Thomas P. H. // Ibid.— 1973.— 21, N 1.— P. 99.
4. Zaturska M. B. // Ibid.— 1975.— 25.— P. 25.
5. Афанасьев А. В., Земских В. И., Лейпунский О. И. О тепловом самовоспламенении системы горячих очагов // ФГВ.— 1983.— 19, № 4.— С. 49.
6. Буркина Р. С., Вилюнов В. Н. О возбуждении химической реакции в «горячей точке» // Там же.— 1980.— 16, № 4.— С. 75.
7. Буркина Р. С., Вилюнов В. Н. // Хим. физика.— 1982.— № 3.— С. 419.
8. Вилюнов В. Н., Буркина Р. С. // Горение конденсированных и гетерогенных систем: Материалы VI Всесоюз. симп. по горению и взрыву.— Черноголовка, 1980.— С. 18.
9. Князева А. Г., Буркина Р. С., Вилюнов В. Н. Особенности очагового теплового воспламенения при различных начальных распределениях температуры // ФГВ.— 1988.— 24, № 3.— С. 45.
10. Земских В. И., Лейпунский О. И. Повторное воспламенение конденсированных реагирующих веществ // Там же.— 1987.— 23, № 2.— С. 3.
11. Vilynov V. N., Zarko V. E. Ignition of solids.— Amsterdam; Oxford; N. Y.; Tokyo: Elsevier, 1989.— 442 p.
12. Князева А. Г., Буркина Р. С. // Макроскопическая кинетика и химическая газодинамика. 1989.— С. 94.
13. Буркина Р. С., Князева А. Г. К задаче об очаговом тепловом воспламенении в веществе, способном к автокатализитическому превращению.— Деп. в ВИНИТИ 23.09.86, № 6809.
14. Сеплярский Б. С., Афанасьев С. Ю. // Хим. физика.— 1989.— 8, № 5.— С. 646.
15. Сеплярский Б. С., Афанасьев С. Ю. Анализ нестационарной картины воспламенения очага разогрева // ФГВ.— 1989.— 25, № 6.— С. 9.
16. Франк-Каменецкий Д. А. Диффузия и теплопередача в химической кинетике.— М: Наука, 1987.
17. Zinn J. // J. Chem. Phys.— 1962.— 36, N 7.— P. 1949.
18. Boddington T. // 9th. Symp. on Comb. Acad. Press.— N. Y.: Lond., 1963.— P. 287.
19. Friedman M. M. // Trans. Faraday Soc.— 1963.— 59, N 6.— P. 1865.
20. Thomas P. H. // Combust. Flame.— 1965.— 9, N 4.— P. 369.

г. Томск

Поступила в редакцию 27/VII 1990,  
после доработки — 6/III 1991

УДК 536.413 : 662.611

Л. Я. Каширов, Ю. Е. Шелудяк, В. М. Мальцев,  
В. Н. Маршаков, В. В. Ухов, А. Г. Распопин

#### ВЛИЯНИЕ ТЕМПЕРАТУРНОЙ ЗАВИСИМОСТИ ПЛОТНОСТИ НА ОЦЕНКИ ТЕПЛОВЫХ ПАРАМЕТРОВ ВОЛНЫ ГОРЕНИЯ НИТРОГЛИЦЕРИНОВЫХ ПОРОХОВ

Проведены экспериментальные исследования линейного коэффициента теплового расширения нитроглицериновых порохов II, НБ, НМФ-2 в области температур 103–373 К и получены уравнения для температурной зависимости объемного КТР и плотности исследованных порохов. Сильная зависимость плотности нитроглице-